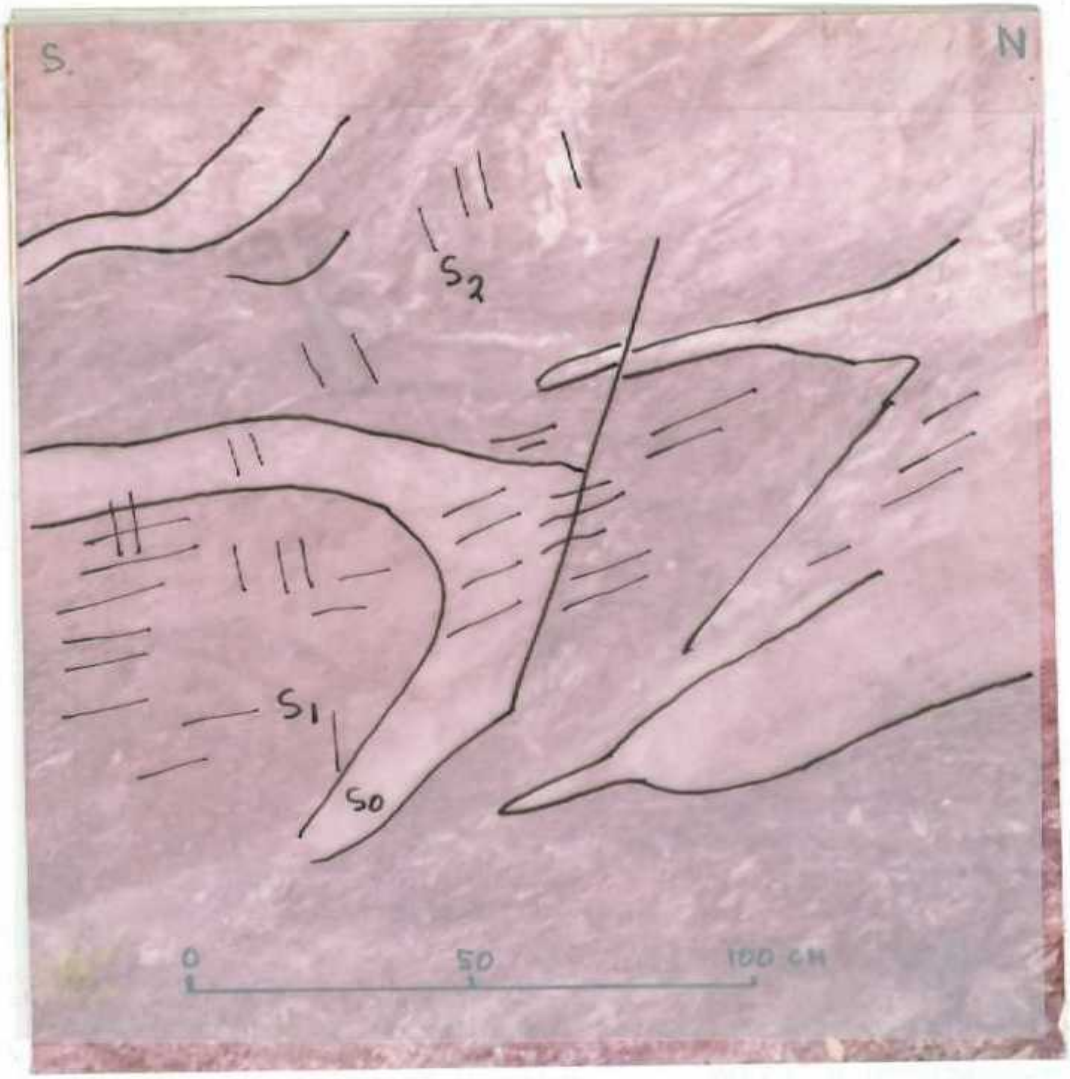
21044



22-43-AD-VM-254.- Filitas del Manto de Murtas ($\simeq$ Félix) ($P\text{-}T_{A1}^{m}$). Pliegues isoclinales con "cleavage" de la segunda Fase (pliegues más abiertos). Plano axial más o menos paralelo al martillo.



22-43-AD-VM-255.- Filitas del Manto de Murtas (≃ Félix) ($P\text{-}T_{A1}^{m}$). El detalle en la fotografía.



22-43-AD-VM-256.- Dolomías en facies franciscana del Miembro T_{A22} de la formación calcárea del Manto de Lújar (Gádor).



22-43-AD-VM-257.- Dolomías en "facies franciscana" con estructuras en "echelon" (T_{A22}) de la formación calcárea del Manto de - Lújar (Gádor).



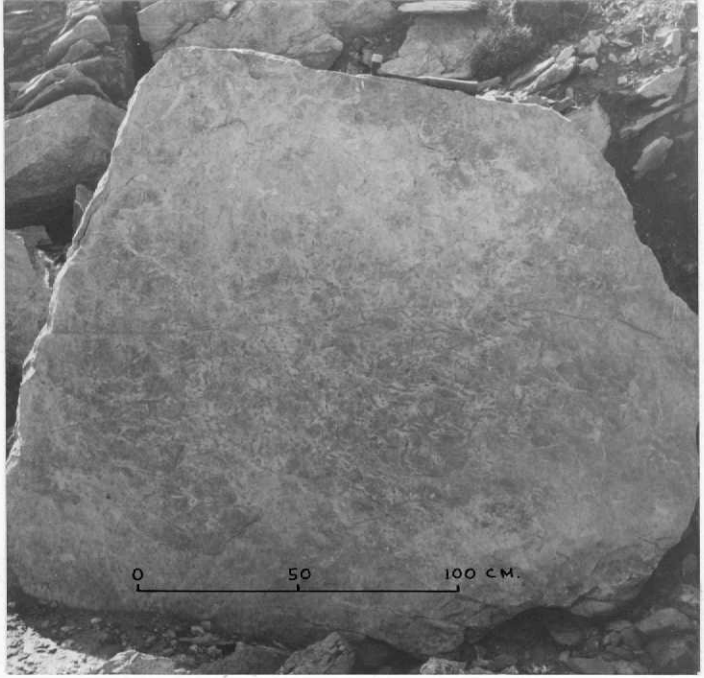
22-43-AD-VM-258.- Dolomías en "facies franciscana" del Miembro T_{A22} del Manto de Lújar (Gádor). Las capas poseen diversas clases de deformaciones.



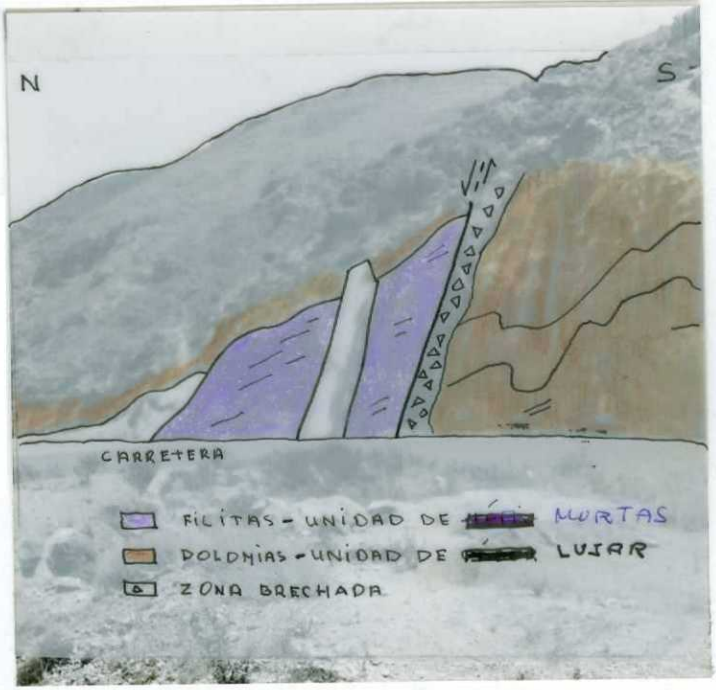
22-43-AD-VM-259.- Capas discontínuas y "rods" en dolomías con - facies franciscana del Miembro T_{A22} del Manto de Lújar (Gádor).



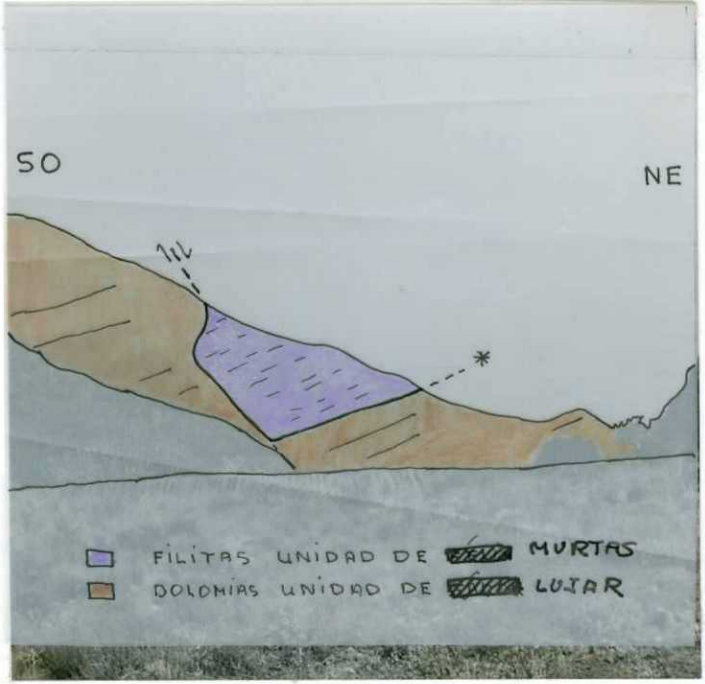
22-43-AD-VM-260.- Megapliegues en la formación calcárea (T_{A31}) del Manto de Lújar (Gádor).



22-43-AD-VM-261.- Calizas "vermiculares" con pistas del Miembro T_{A22} del Manto de Lújar (Gádor).

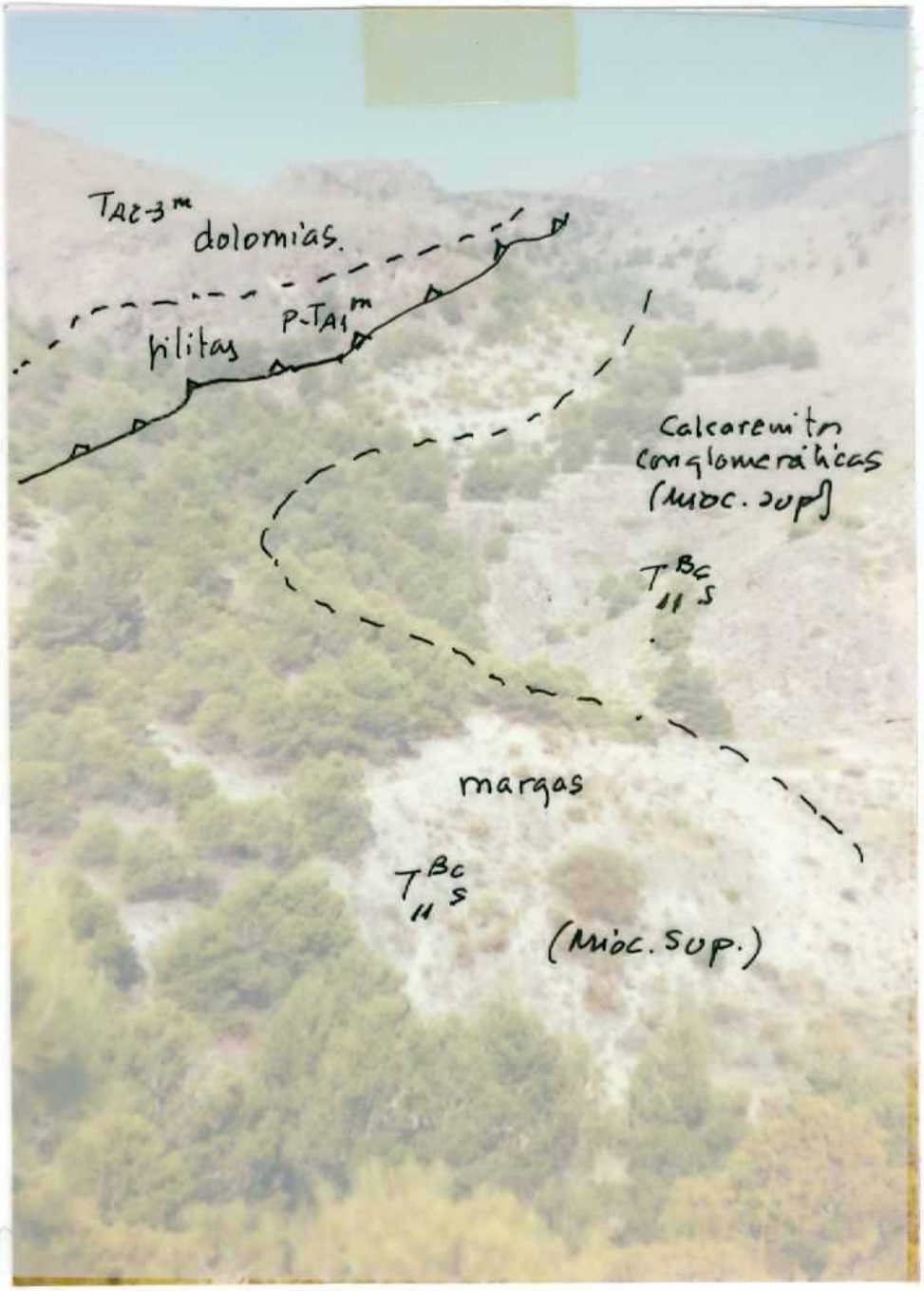


22-43-AD-VM-262.- Falla normal, probablemente del final del Mioceno, en el borde Sur del Valle del Andarax. A la izquierda filitas del Manto de Murtas ($P\text{-}T_{A1}^{m}$). A la derecha dolomías oscuras (T_{A22}) del Manto de Lújar (Gádor).

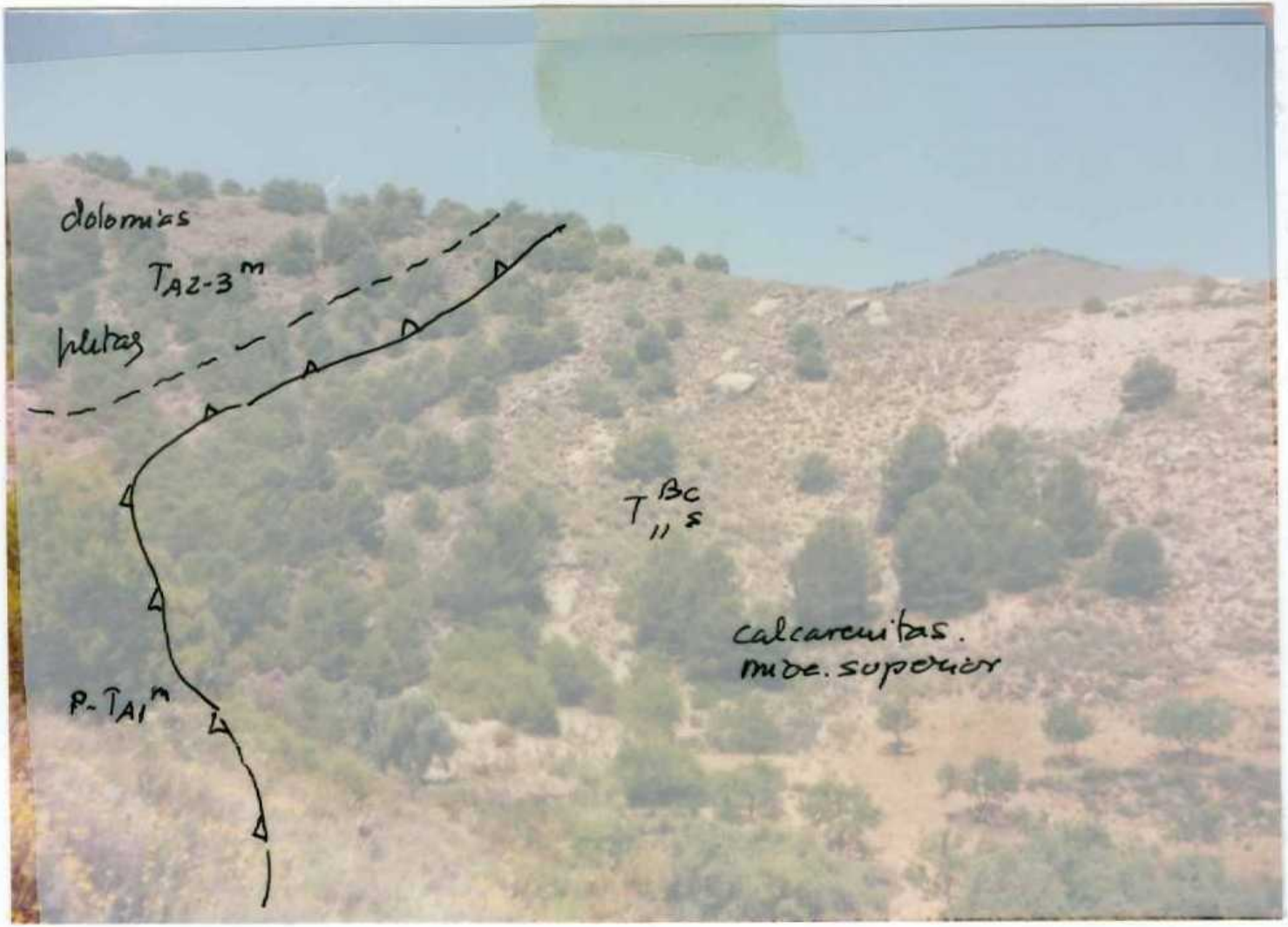


22-43-AD-VM-263.- Cabalgamiento de las filitas ($P\text{-}T_{A1}^{m}$) del Manto de Murtas (Félix) sobre las dolomías (T_{A22}) del Manto de Lújar.

Falla normal de probable edad Mioceno superior.



22-43-AD-BA-264.- Falla inversa o cabalgamiento del Manto de Murtas (Félix) sobre calcarenitas y margas del Mioceno superior. Nuestra opinión es que se trata de deslizamientos por gravedad, originados por el funcionamiento de las fallas normales al final del Mioceno.



<u>22-43-AD-BA-265</u>.- Lo mismo que la anterior. El Mioceno superior está todo él (T_{11}^{Bc}s) en facies caliza o calcarenítica. Al SE del Cortijo de los Cazadores.



22-43-AD-BA-266.- Calizas travertínicas (Qtr) encima del Mioceno superior T_{12}^{Bc}s de margas y calcarenitas, a la derecha de Alhama de Almería.



22-43-AD-BA-267.- El Mioceno superior regresivo de margas y conglomerados (T_{12}^{Bc}). Encima el glacis (Q_G) sobre el que se instala el pueblo de Padules.



22-43-AD-BA-268.- Mioceno superior de carácter continental. Conglomerados, arcillas, limos, etc. ($T_{12}^{Bc}cg$).



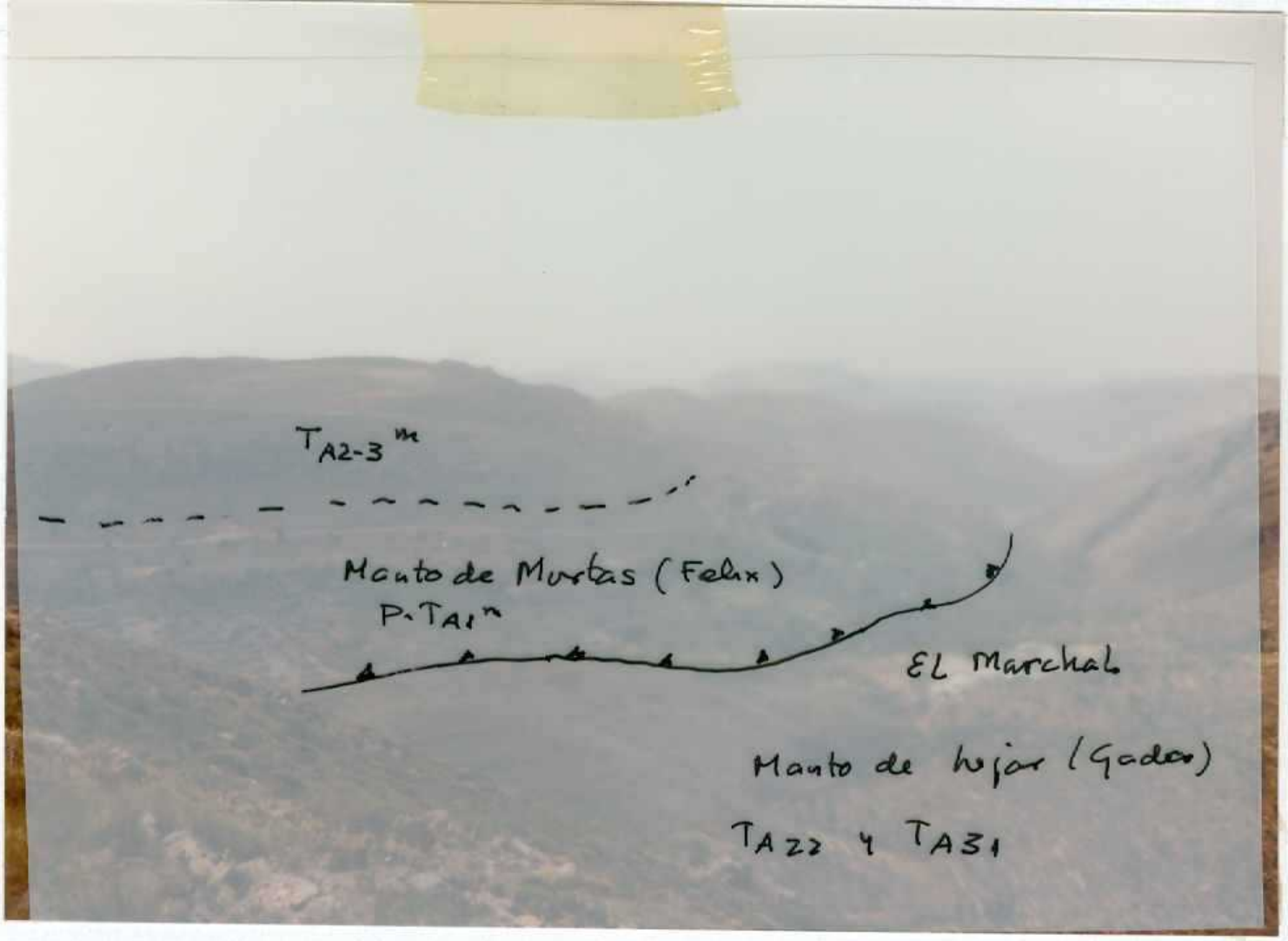
22-43-AD-BA-269.- Margas del Tortoniense (T_{11}^{Bc}) que ocupan el valle del Río Andarax, entre Bentarique e Illar. Al fondo, la Sierra de Gádor, con dolomías (T_{A22}) del Manto de Lújar (Gádor).



22-43-AD-BA-270.- Filitas violetas y rojas en el techo de la formación P-T_{A1}m del Manto de Murtas (≃ Félix).



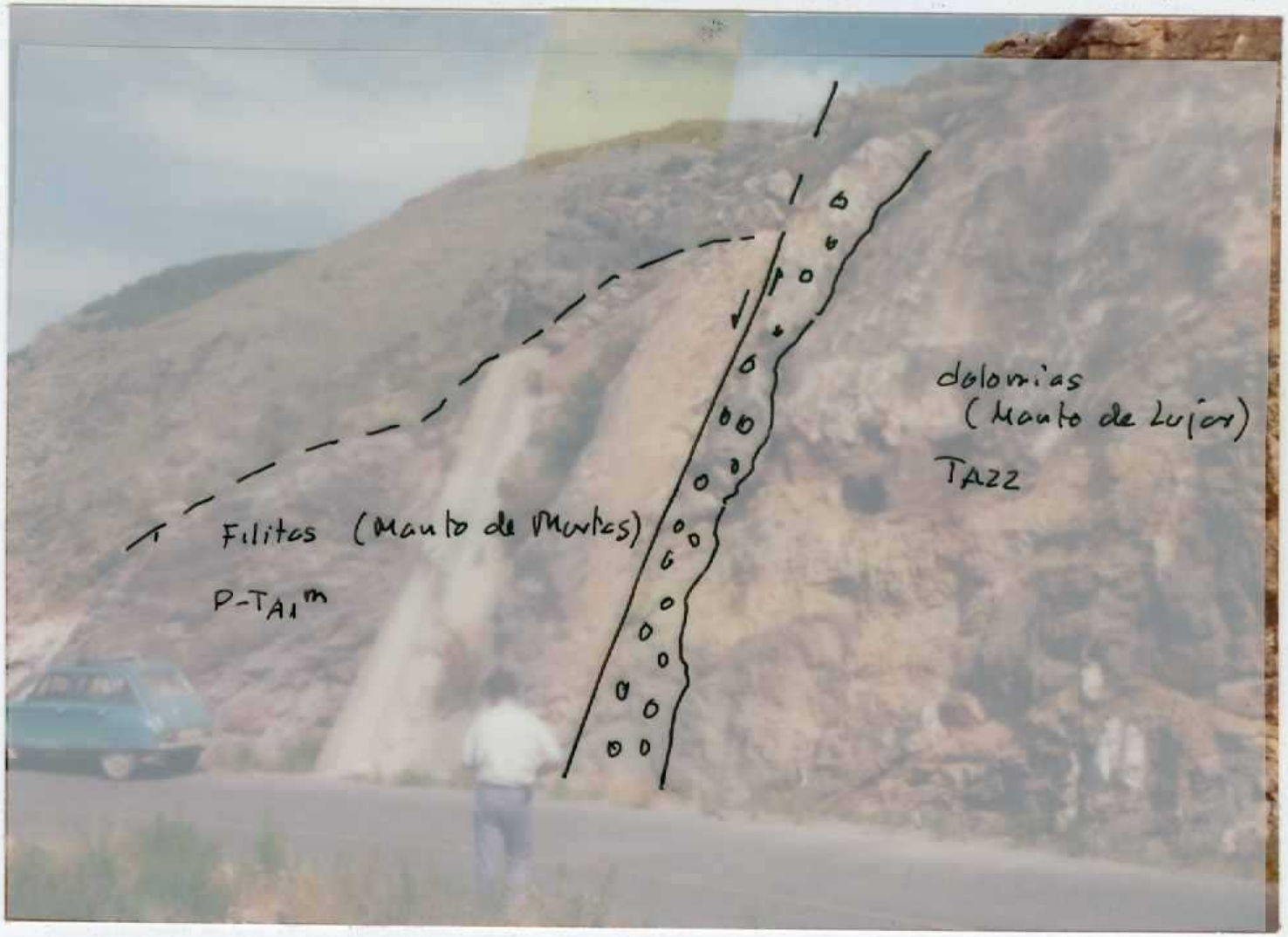
22-43-AD-BA-271.- Escombreras y minas abandonadas de la Formación o Miembro (T_{A22}) del Manto de Lújar (Gádor) en la localidad del Marchal de Antón López.



22-43-AD-BA-272.- El Marchal de Antón López. Encima (zona cultivada) filitas (P-$T_{A1}{}^{m}$) del Manto de Murtas (≃ Félix) cabalgando sobre las formaciones del Manto de Lújar (Gádor).



22-43-AD-BA-273.- Margas y calizas del Miembro T_{A22} del Manto de Lújar (Gádor).



22-43-AD-BA-274.- Falla normal en el borde Sur del Valle del - Andarax, al Oeste de Alhama de Almería. Foto semejante a la 262.



22-43-AD-BA-275.- Margas y calcarenitas del Mioceno superior (T_{11}^{Bc}s) del Campillo, en la parte alta de la Sierra de Gádor. Se apoyan sobre dolomías alpujárrides.



22-43-AD-BA-276.- Margas y calcarenitas del Mioceno superior - (T_{11}^{Bc}s) apoyándose sobre dolomías (T_{A22}) del Manto de Lújar, a más de 1.000 metros de altura.



22-43-AD-BA-277.- Dolomías alpujárrides T_{A22} del Cerro del Romeral.



22-43-AD-BA-278.- Calcarenitas conglomeráticas ($T_{11}^{Bc}c$) del Tortoniense adosadas a las dolomías del Alpujárride en la parte central de la Sierra de Gádor.



22-43-AD-BA-279.- Falla normal entre dolomías y calizas (T_{A22} y T_{A31}) del Manto de Lújar (al fondo), y Mioceno superior (T_1^{Bc}) - que se apoya sobre filitas ($P\text{-}T_{A1}^{m}$) del Manto de Murtas (Félix). Fotografiada desde el pueblo de Enix.

21044



22-43-AD-BA-280.- Otra panorámica de la falla anterior. A la izquierda el pueblo de Enix.



22-43-AD-BA-281.- Cabalgamiento del Manto de Murtas (Félix) sobre el de Lújar (Gádor). En primer término a la izquierda dolomías del Miembro T_{A22}. Encima las filitas ($P\text{-}T_{A1}^{m}$) y al fondo las dolomías ($T_{A2\text{-}3}^{m}$) del Manto de Murtas.